

Environnement de développement d'applications multipériodiques sur plateforme multicœur

Mikel Cordovilla Mesonero

Membres du jury

Frédéric Boniol

Liliana Cucu-Grosjean

Emmanuel Grolleau

Pierre-Emmanuel Hladik

Eric Noulard

Claire Pagetti

Olivier H. Roux

Jean-Pierre Talpin

ONERA Toulouse

INRIA Nancy-Grand Est

ENSMA Poitiers

INSA Toulouse

ONERA Toulouse

ONERA Toulouse

IRCCyN/École Centrale de Nantes

INRIA-Rennes

Directeur de thèse

Examineur

Rapporteur

Examineur

Encadrant de thèse

Encadrant de thèse

Rapporteur

Examineur

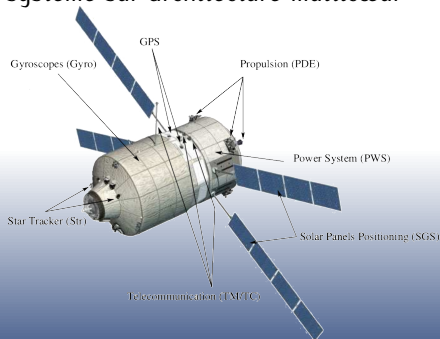
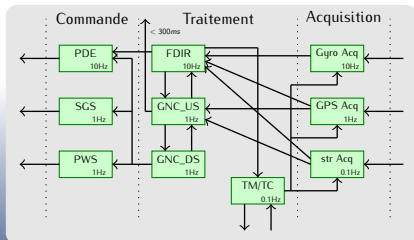
2 Avril 2012



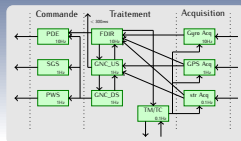
Université
de Toulouse

Contexte : programmation temps réel de systèmes embarqués critiques

- **Exemple** : Flight Application Software (FAS)
- **Particularités** :
 - Multipériodique
 - Patron de communication explicite
 - Contraintes de précédences généralisées
- **Objectif** : exécution "sûre" du système sur architecture multicœur



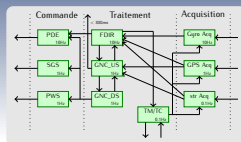
Application : de l'assemblage à l'exécution



Monoprocesseur

- Comment modélise-t-on le système ?

Application : de l'assemblage à l'exécution

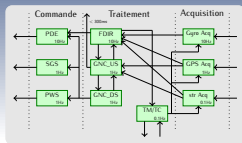


spécification PRELUDE

Monoprocesseur

- Comment modélise-t-on le système ? **PRELUDE**

Application : de l'assemblage à l'exécution



spécification PRELUDE

Compilation

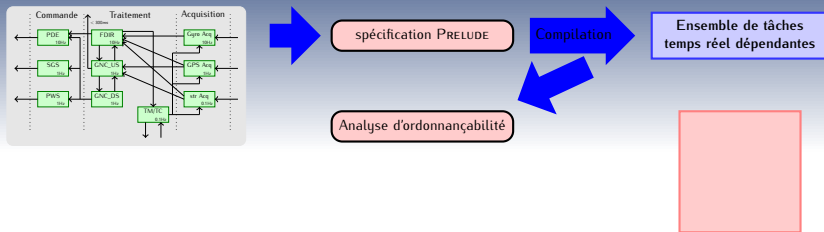
Ensemble de tâches
temps réel dépendantes



Monoprocesseur

- Comment modélise-t-on le système ? **PRELUDE**
- L'ensemble de tâches respecte-t-il les contraintes temporelles ?

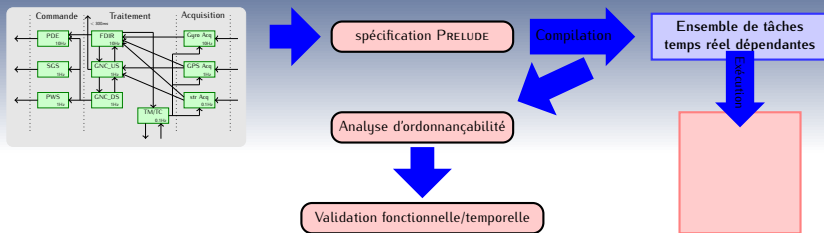
Application : de l'assemblage à l'exécution



Monoprocesseur

- Comment modélise-t-on le système ? **PRELUDE**
- L'ensemble de tâches respecte-t-il les contraintes temporelles ?
CNS pour RM et EDF
- L'exécution est-elle correcte ?

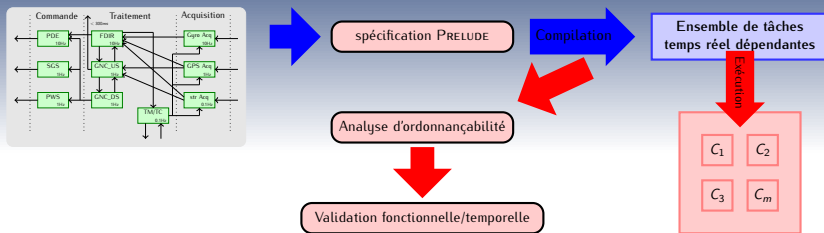
Application : de l'assemblage à l'exécution



Monoprocesseur

- Comment modélise-t-on le système ? **PRELUDE**
- L'ensemble de tâches respecte-t-il les contraintes temporelles ?
CNS pour RM et EDF
- L'exécution est-elle correcte ? **MarteOS**

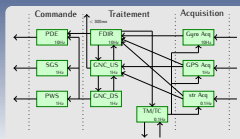
Application : de l'assemblage à l'exécution



Multicœur

- Comment modélise-t-on le système ? **PRELUDE**
- L'ensemble de tâches respecte-t-il les contraintes temporelles ?
SCHEDMCORE CONVERTER
- L'exécution est-elle correcte ? **SCHEDMCORE RUNNER**

Description formelle du système



spécification PRELUDE



Compilation

Ensemble de tâches
temps réel dépendantes

- PRELUDE est un langage formel conçu pour la spécification de l'architecture logicielle de systèmes multipériodiques
- Langage synchrone flot de données
- Hypothèse synchrone relâchée



Forget, J. (2009).

A Synchronous Language for Critical Embedded Systems with Multiple Real-Time Constraints.
PhD thesis, Université de Toulouse - ISAE/ONERA, Toulouse, France.

Exemple PRELUDE

```
imported node tau_1 (i0 :int, i1: int) returns (o1 :int, o2 :int) wcet 5;
imported node tau_2 (i0 :int) returns (o1 :int) wcet 10;
imported node tau_3 (i0 :int, i1: int) returns (o1 :int) wcet 20;
node sampling (i : rate (10,0)) returns (o1, o2)
var vf, vs;
let
  (o1,vf)=tau_1(i, (0 fby vs)^3);
  vs=tau_2(vf/^3);
  o2 = tau_3((vf~>1/10)/^6,(vs~>1/30)/^2);
tel
```

date	0	1	10	20	30	40	50	60	61	...
------	---	---	----	----	----	----	----	----	----	-----

Exemple PRELUDE

```

imported node tau_1 (i0 :int, i1: int) returns (o1 :int, o2 :int) wctet 5;
imported node tau_2 (i0 :int) returns (o1 :int) wctet 10;
imported node tau_3 (i0 :int, i1: int) returns (o1 :int) wctet 20;
node sampling (i : rate (10,0)) returns (o1, o2)
var vf, vs;
let
  (o1,vf)=tau_1(i, (0 fby vs)*^3);
  vs=tau_2(vf/^3);
  o2 = tau_3((vf~>1/10)/^6,(vs~>1/30)/^2);
tel

```

date	0	1	10	20	30	40	50	60	61	...
<i>i</i>	i^0		i^1	i^2	i^3	i^4	i^5	i^6		...

Exemple PRELUDE

```

imported node tau_1 (i0 :int, i1: int) returns (o1 :int, o2 :int) wctet 5;
imported node tau_2 (i0 :int) returns (o1 :int) wctet 10;
imported node tau_3 (i0 :int, i1: int) returns (o1 :int) wctet 20;
node sampling (i : rate (10,0)) returns (o1, o2)
var vf, vs;
let
  (o1,vf)=tau_1(i, (0 fby vs)*^3);
  vs=tau_2(vf/^3);
  o2 = tau_3((vf^>1/10)/^6,(vs^>1/30)/^2);
tel

```

date	0	1	10	20	30	40	50	60	61	...
i	i^0		i^1	i^2	i^3	i^4	i^5	i^6		...

v_f	v_f^0		v_f^1	v_f^2	v_f^3	v_f^4	v_f^5	v_f^6		...
-------	---------	--	---------	---------	---------	---------	---------	---------	--	-----

Exemple PRELUDE

```

imported node tau_1 (i0 :int, i1: int) returns (o1 :int, o2 :int) wcet 5;
imported node tau_2 (i0 :int) returns (o1 :int) wcet 10;
imported node tau_3 (i0 :int, i1: int) returns (o1 :int) wcet 20;
node sampling (i : rate (10,0)) returns (o1, o2)
var vf, vs;
let
  (o1,vf)=tau_1(i, (0 fby vs)*^3);
  vs=tau_2(vf/^3);
  o2 = tau_3((vf^>1/10)/^6,(vs^>1/30)/^2);
tel

```

date	0	1	10	20	30	40	50	60	61	...
i	i^0		i^1	i^2	i^3	i^4	i^5	i^6		...

v_f	v_f^0		v_f^1	v_f^2	v_f^3	v_f^4	v_f^5	v_f^6		...
$v_f/^3$	v_f^0				v_f^3			v_f^6		...
v_s	v_s^0				v_s^1			v_s^2		...

Exemple PRELUDE

```

imported node tau_1 (i0 :int, i1: int) returns (o1 :int, o2 :int) wctet 5;
imported node tau_2 (i0 :int) returns (o1 :int) wctet 10;
imported node tau_3 (i0 :int, i1: int) returns (o1 :int) wctet 20;
node sampling (i : rate (10,0)) returns (o1, o2)
var vf, vs;
let
  (o1,vf)=tau_1(i, (0 fby vs)*^3);
  vs=tau_2(vf/^3);
  o2 = tau_3((vf^>1/10)/^6,(vs^>1/30)/^2);
tel

```

date	0	1	10	20	30	40	50	60	61	...
i	i^0		i^1	i^2	i^3	i^4	i^5	i^6		...
$0 \text{ fby } v_s$	0				v_s^0			v_s^1		...
$(0 \text{ fby } v_s)^*^3$	0		0	0	v_s^0	v_s^0	v_s^0	v_s^1		...
v_f	v_f^0		v_f^1	v_f^2	v_f^3	v_f^4	v_f^5	v_f^6		...
$v_f/^3$	v_f^0				v_f^3			v_f^6		...
v_s	v_s^0				v_s^1			v_s^2		...

Exemple PRELUDE

```

imported node tau_1 (i0 :int, i1: int) returns (o1 :int, o2 :int) wctet 5;
imported node tau_2 (i0 :int) returns (o1 :int) wctet 10;
imported node tau_3 (i0 :int, i1: int) returns (o1 :int) wctet 20;
node sampling (i : rate (10,0)) returns (o1, o2)
var vf, vs;
let
  (o1,vf)=tau_1(i, (0 fby vs)*^3);
  vs=tau_2(vf/^3);
  o2 = tau_3((vf~>1/10)/^6,(vs~>1/30)/^2);
tel

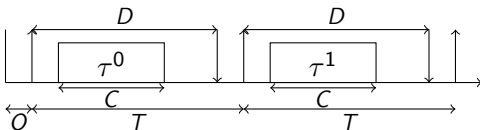
```

date	0	1	10	20	30	40	50	60	61	...
i	i^0		i^1	i^2	i^3	i^4	i^5	i^6		...
$0 \text{ fby } v_s$	0				v_s^0			v_s^1		...
$(0 \text{ fby } v_s)^*^3$	0		0	0	v_s^0	v_s^0	v_s^0	v_s^1		...
v_f	v_f^0		v_f^1	v_f^2	v_f^3	v_f^4	v_f^5	v_f^6		...
$v_f/^3$	v_f^0				v_f^3			v_f^6		...
v_s	v_s^0				v_s^1			v_s^2		...
$(v_f/\sim > 1/10)/^6$		v_f^0							v_f^6	...
$(v_s/\sim > 1/10)/^2$		v_s^0							v_s^2	...

Modèle de tâches - Contraintes temps réel

Un programme PRELUDE génère un ensemble de tâches périodiques communicantes $\langle \mathcal{S}, \mathcal{R}, \mathcal{C} \rangle$ entrée de SCHEDMCORE :

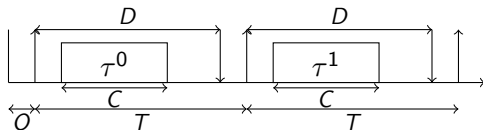
$\mathcal{S} = \{\tau_j = (O_j, T_j, D_j, C_j)\}_{j=1, \dots, n}$ est un ensemble fini de tâches.
 τ_j^i est le $i^{\text{ème}}$ job de τ_j ;



Modèle de tâches - Contraintes temps réel

Un programme PRELUDE génère un ensemble de tâches périodiques communicantes $\langle \mathcal{S}, \mathcal{R}, \mathcal{C} \rangle$ entrée de SCHEDMCORE :

$\mathcal{S} = \{\tau_j = (O_j, T_j, D_j, C_j)\}_{j=1, \dots, n}$ est un ensemble fini de tâches.
 τ_j^i est le $i^{\text{ème}}$ job de τ_j ;



Exemple **sampling** :

τ_i	O_i	T_i	D_i	C_i
τ_1	0	10	10	5
τ_2	0	30	30	10
τ_3	1	60	60	20

Modèle de tâches - Contraintes de précedence

Un programme PRELUDE génère un ensemble de tâches périodiques communicantes $\langle \mathcal{S}, \mathcal{R}, \mathcal{C} \rangle$:

\mathcal{R} est une relation de précedence, définie comme un ensemble de précedence répétitives entre **jobs** selon un patron.

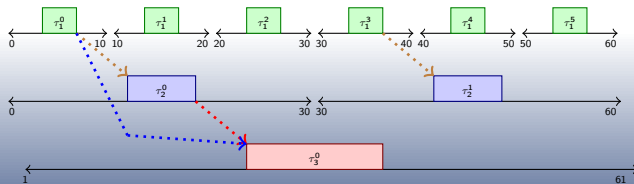
Modèle de tâches - Contraintes de précedence

Un programme PRELUDE génère un ensemble de tâches périodiques communicantes $\langle \mathcal{S}, \mathcal{R}, \mathcal{C} \rangle$:

\mathcal{R} est une relation de précedence, définie comme un ensemble de précedence répétitives entre **jobs** selon un patron.

Exemple **sampling** :

$$\tau_1 \xrightarrow{(0,0)} \tau_2 ; \tau_2 \xrightarrow{(0,0)} \tau_3 ; \tau_1 \xrightarrow{(0,0)} \tau_3$$



Modèle de tâches - Fonction de communication

Un programme PRELUDE génère un ensemble de tâches périodiques communicantes $\langle \mathcal{S}, \mathcal{R}, \mathcal{C} \rangle$:

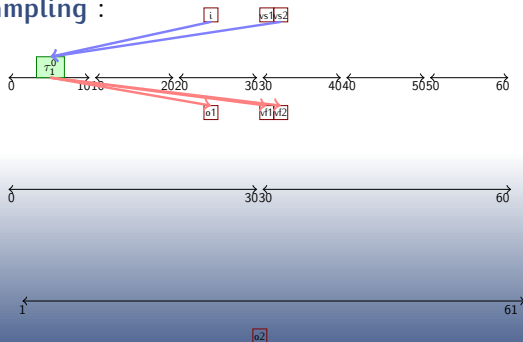
\mathcal{C} est la fonction de communication implantée par un protocole sur buffers partagés. Indique pour chaque job dans quels buffers lire ou écrire ses données (modèle à mémoire partagée).

Modèle de tâches - Fonction de communication

Un programme PRELUDE génère un ensemble de tâches périodiques communicantes $\langle \mathcal{S}, \mathcal{R}, \mathcal{C} \rangle$:

\mathcal{C} est la fonction de communication implantée par un protocole sur buffers partagés. Indique pour chaque job dans quels buffers lire ou écrire ses données (modèle à mémoire partagée).

Exemple **sampling** :

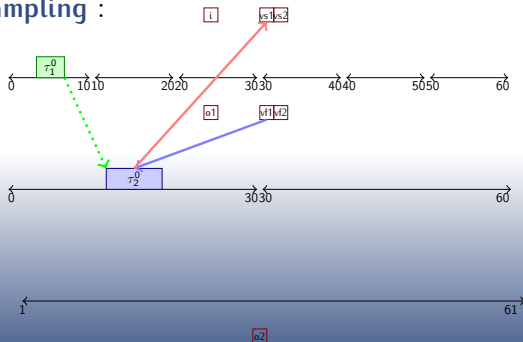


Modèle de tâches - Fonction de communication

Un programme PRELUDE génère un ensemble de tâches périodiques communicantes $\langle \mathcal{S}, \mathcal{R}, \mathcal{C} \rangle$:

\mathcal{C} est la fonction de communication implantée par un protocole sur buffers partagés. Indique pour chaque job dans quels buffers lire ou écrire ses données (modèle à mémoire partagée).

Exemple **sampling** :

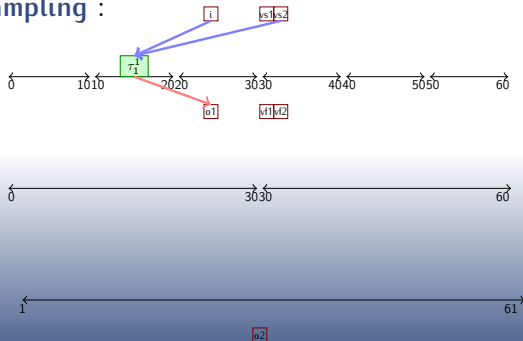


Modèle de tâches - Fonction de communication

Un programme PRELUDE génère un ensemble de tâches périodiques communicantes $\langle \mathcal{S}, \mathcal{R}, \mathcal{C} \rangle$:

\mathcal{C} est la fonction de communication implantée par un protocole sur buffers partagés. Indique pour chaque job dans quels buffers lire ou écrire ses données (modèle à mémoire partagée).

Exemple **sampling** :

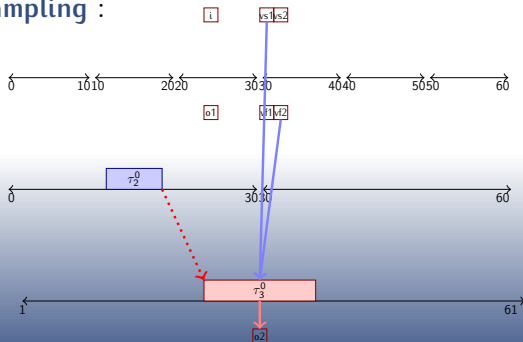


Modèle de tâches - Fonction de communication

Un programme PRELUDE génère un ensemble de tâches périodiques communicantes $\langle \mathcal{S}, \mathcal{R}, \mathcal{C} \rangle$:

\mathcal{C} est la fonction de communication implantée par un protocole sur buffers partagés. Indique pour chaque job dans quels buffers lire ou écrire ses données (modèle à mémoire partagée).

Exemple **sampling** :



Plan

1 Analyse d'ordonnabilité multiprocesseur

État de l'art

Contributions

2 Recherche des paramètres hors-ligne

État de l'art

Contributions

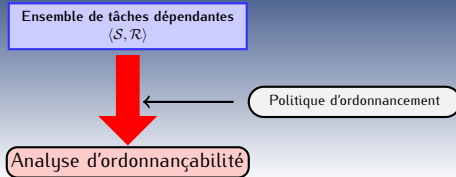
3 Environnement d'exécution

État de l'art

Contributions

4 Conclusion

Analyse d'ordonnançabilité



Objectif

Assurer que l'exécution d'un ensemble de tâches sur une architecture avec une politique donnée respecte toutes les contraintes temporelles et de précedence.

Plusieurs politiques analysées

Analyse d'ordonnançabilité des politiques d'ordonnancement existantes (FP, gEDF, gLLF, LLREF)

- Méthodes analytiques
- Méthodes de parcours exhaustif

Méthodes de parcours exhaustif

Principe

Génération de toutes les séquences d'ordonnancement afin de vérifier le respect des contraintes temporelles et de précedence

Méthodes de parcours exhaustif

Principe

Génération de toutes les séquences d'ordonnancement afin de vérifier le respect des contraintes temporelles et de précedence

Cyclicité

- Connu pour les ensembles **synchrones** : $[0, ppcm(T)]$
- Connu pour les ensembles **asynchrones** et une politique **FP** : $[S_n, S_n + ppcm(T)]$
- Inconnu pour les ensembles **asynchrones** et une politique à **priorité dynamique** : répétition à $k \times ppcm(T)$
- Pas de résultats pour les **ensembles dépendants** : répétition à $k \times ppcm(T)$



Cucu-Grosjean, L. and Goossens, J. (2011).

Exact schedulability tests for real-time scheduling of periodic tasks on unrelated multiprocessor platforms.

Journal of Systems Architecture, 57(5) :561 – 569.

Special Issue on Multiprocessor Real-time Scheduling.

Méthodes de parcours exhaustif

Principe

Génération de toutes les séquences d'ordonnancement afin de vérifier le respect des contraintes temporelles et de précedence

Génération des séquences

Plusieurs formalismes : automates temporisés, réseaux de Petri temporisés, automates finis, algorithmes ad-hoc...

- Explosion combinatoire
- Contraintes de précedence généralisées non modélisées



Cucu-Grosjean, L. and Goossens, J. (2011).

Exact schedulability tests for real-time scheduling of periodic tasks on unrelated multiprocessor platforms.

Journal of Systems Architecture, 57(5) :561 – 569.

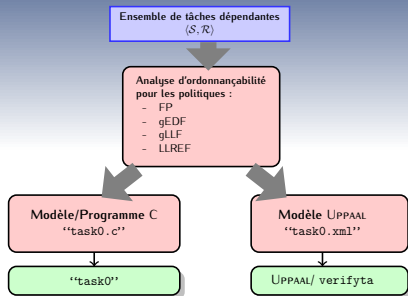
Special Issue on Multiprocessor Real-time Scheduling.

Plan

- 1 **Analyse d'ordonnabilité multiprocesseur**
État de l'art
Contributions
- 2 Recherche des paramètres hors-ligne
État de l'art
Contributions
- 3 Environnement d'exécution
État de l'art
Contributions
- 4 Conclusion

Analyse d'ordonnabilité multiprocesseur :

SCHEDMCORE CONVERTER



SCHEDMCORE CONVERTER

Un outil pour l'analyse d'ordonnabilité de politiques pré-emptives globales (méthode de parcours exhaustif)

- encodage de l'analyse d'ordonnabilité sous forme d'un problème d'accessibilité dans un **automate** fini
- génération des programmes C ou UPPAAL pour l'exploration.

Encodage de configuration de tâches

Paramètres temporels

$conf(t)$ la configuration à l'instant t est le tuple $(O_{\tau}(t), T_{\tau}(t), D_{\tau}(t), C_{\tau}(t))$

Encodage de configuration de tâches

Paramètres temporels

$conf(t)$ la configuration à l'instant t est le tuple $(O_\tau(t), T_\tau(t), D_\tau(t), C_\tau(t))$

τ	(O_i, T_i, D_i, C_i)
$\tau_1(0)$	(0, 10, 10, 5)
$\tau_2(0)$	(0, 30, 30, 10)
$\tau_3(0)$	(1, 60, 60, 20)

Encodage de configuration de tâches

Paramètres temporels

$conf(t)$ la configuration à l'instant t est le tuple $(O_\tau(t), T_\tau(t), D_\tau(t), C_\tau(t))$

Contraintes de précédence

$M_{i,j}(t)$ est l'ensemble des mots actifs de la contrainte de précédence $\tau_i \rightarrow \tau_j$ à l'instant t . $M_{i,j}(t) = \{(m_1, m'_1), \dots, (m_k, m'_k)\}$.

On a donc k contraintes $\tau_i^{m_k} \rightarrow \tau_j^{m'_k}$

τ	(O_i, T_i, D_i, C_i)
$\tau_1(0)$	(0, 10, 10, 5)
$\tau_2(0)$	(0, 30, 30, 10)
$\tau_3(0)$	(1, 60, 60, 20)

Encodage de configuration de tâches

Paramètres temporels

$conf(t)$ la configuration à l'instant t est le tuple $(O_\tau(t), T_\tau(t), D_\tau(t), C_\tau(t))$

Contraintes de précédence

$M_{i,j}(t)$ est l'ensemble des mots actifs de la contrainte de précédence $\tau_i \rightarrow \tau_j$ à l'instant t . $M_{i,j}(t) = \{(m_1, m'_1), \dots, (m_k, m'_k)\}$.

On a donc k contraintes $\tau_i^{m_k} \rightarrow \tau_j^{m'_k}$

τ	(O_i, T_i, D_i, C_i)
$\tau_1(0)$	$(0, 10, 10, 5)$
$\tau_2(0)$	$(0, 30, 30, 10)$
$\tau_3(0)$	$(1, 60, 60, 20)$

M	$(m_{i,j}, m'_{i,j})$
$M_{1,2}(0)$	$\{(0, 0)\}$
$M_{1,3}(0)$	$\{(0, 0)\}$
$M_{2,3}(0)$	$\{(0, 0)\}$

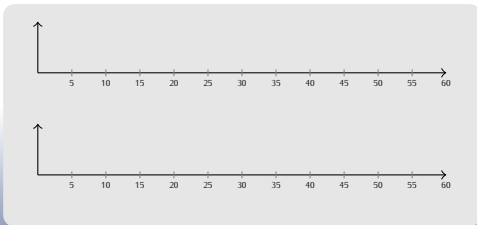
Séquence de configurations pour Sampling

τ_i	O_i	T_i	D_i	C_i	\mathcal{R}
τ_1	0	10	10	5	$\tau_1 \xrightarrow{(0,0)} \tau_2$
τ_2	0	30	30	10	$\tau_2 \xrightarrow{(0,0)} \tau_3$
τ_3	1	60	60	20	$\tau_1 \xrightarrow{(0,0)} \tau_3$

politique : FP, priorité $\tau_1 < \tau_2 < \tau_3$

architecture : 2 processeurs

time	0	1	5	10	30	61
τ_1	(0, 10, 10, 5)					
τ_2	(0, 30, 30, 10)					
$M_{1,2}$	{(0, 0)}					
τ_3	(1, 60, 60, 20)					
$M_{1,3}$	{(0, 0)}					
$M_{2,3}$	{(0, 0)}					

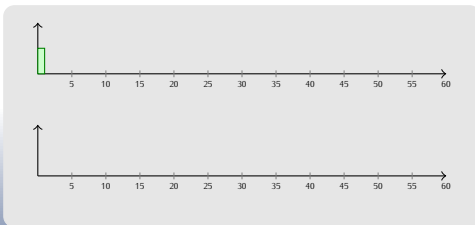


Séquence de configurations pour Sampling

τ_i	O_i	T_i	D_i	C_i	\mathcal{R}
τ_1	0	10	10	5	$\tau_1 \xrightarrow{(0,0)} \tau_2$
τ_2	0	30	30	10	$\tau_2 \xrightarrow{(0,0)} \tau_3$
τ_3	1	60	60	20	$\tau_1 \xrightarrow{(0,0)} \tau_3$

politique : FP, priorité $\tau_1 < \tau_2 < \tau_3$
architecture : 2 processeurs

time	0	1	5	10	30	61
τ_1	(0, 10, 10, 5)	(0, 9, 9, 4)				
τ_2	(0, 30, 30, 10)	(0, 29, 29, 10)				
$M_{1,2}$	{(0, 0)}	{(0, 0)}				
τ_3	(1, 60, 60, 20)	(0, 60, 60, 20)				
$M_{1,3}$	{(0, 0)}	{(0, 0)}				
$M_{2,3}$	{(0, 0)}	{(0, 0)}				

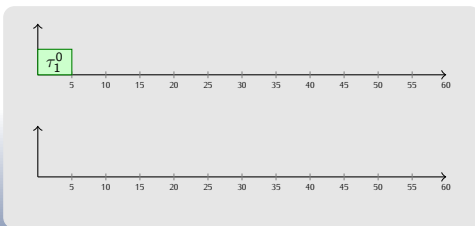


Séquence de configurations pour Sampling

τ_i	O_i	T_i	D_i	C_i	\mathcal{R}
τ_1	0	10	10	5	$\tau_1 \xrightarrow{(0,0)} \tau_2$
τ_2	0	30	30	10	$\tau_2 \xrightarrow{(0,0)} \tau_3$
τ_3	1	60	60	20	$\tau_1 \xrightarrow{(0,0)} \tau_3$

politique : FP, priorité $\tau_1 < \tau_2 < \tau_3$
architecture : 2 processeurs

time	0	1	5	10	30	61
τ_1	(0, 10, 10, 5)	(0, 9, 9, 4)	(0, 5, 5, 0)			
τ_2	(0, 30, 30, 10)	(0, 29, 29, 10)	(0, 25, 25, 10)			
$M_{1,2}$	{(0, 0)}	{(0, 0)}	{}			
τ_3	(1, 60, 60, 20)	(0, 60, 60, 20)	(0, 56, 56, 20)			
$M_{1,3}$	{(0, 0)}	{(0, 0)}	{}			
$M_{2,3}$	{(0, 0)}	{(0, 0)}	{(0, 0)}			



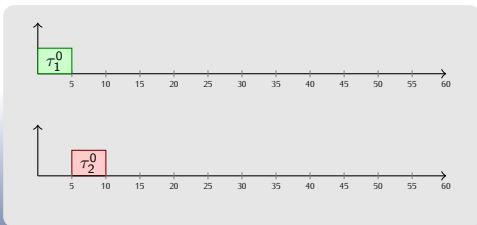
Séquence de configurations pour Sampling

τ_i	O_i	T_i	D_i	C_i	\mathcal{R}
τ_1	0	10	10	5	$\tau_1 \xrightarrow{(0,0)} \tau_2$
τ_2	0	30	30	10	$\tau_2 \xrightarrow{(0,0)} \tau_3$
τ_3	1	60	60	20	$\tau_1 \xrightarrow{(0,0)} \tau_3$

politique : FP, priorité $\tau_1 < \tau_2 < \tau_3$

architecture : 2 processeurs

time	0	1	5	10	30	61
τ_1	(0, 10, 10, 5)	(0, 9, 9, 4)	(0, 5, 5, 0)	(0, 0, 0, 0) → (0, 10, 10, 5)		
τ_2	(0, 30, 30, 10)	(0, 29, 29, 10)	(0, 25, 25, 10)	(0, 20, 20, 5)		
$M_{1,2}$	{(0, 0)}	{(0, 0)}	{}	{}		
τ_3	(1, 60, 60, 20)	(0, 60, 60, 20)	(0, 56, 56, 20)	(0, 51, 51, 20)		
$M_{1,3}$	{(0, 0)}	{(0, 0)}	{}	{}		
$M_{2,3}$	{(0, 0)}	{(0, 0)}	{(0, 0)}	{(0, 0)}		



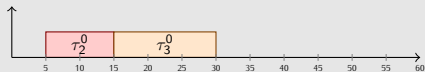
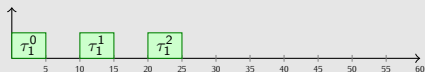
Séquence de configurations pour Sampling

τ_i	O_i	T_i	D_i	C_i	\mathcal{R}
τ_1	0	10	10	5	$\tau_1 \xrightarrow{(0,0)} \tau_2$
τ_2	0	30	30	10	$\tau_2 \xrightarrow{(0,0)} \tau_3$
τ_3	1	60	60	20	$\tau_1 \xrightarrow{(0,0)} \tau_3$

politique : FP, priorité $\tau_1 < \tau_2 < \tau_3$

architecture : 2 processeurs

time	0	1	5	10	30	61
τ_1	(0, 10, 10, 5)	(0, 9, 9, 4)	(0, 5, 5, 0)	(0, 0, 0, 0) → (0, 10, 10, 5)	(0, 0, 0, 0) → (0, 10, 10, 5)	(0, 0, 0, 0) → (0, 10, 10, 5)
τ_2	(0, 30, 30, 10)	(0, 29, 29, 10)	(0, 25, 25, 10)	(0, 20, 20, 5)	(0, 0, 0, 0) → (0, 30, 30, 10)	(0, 0, 0, 0) → (0, 30, 30, 10)
$M_{1,2}$	{(0, 0)}	{(0, 0)}	{}	{}	{(0, 0)}	{}
τ_3	(1, 60, 60, 20)	(0, 60, 60, 20)	(0, 56, 56, 20)	(0, 51, 51, 20)	(0, 21, 21, 5)	(0, 21, 21, 5)
$M_{1,3}$	{(0, 0)}	{(0, 0)}	{}	{}	{}	{}
$M_{2,3}$	{(0, 0)}	{(0, 0)}	{(0, 0)}	{(0, 0)}	{}	{}



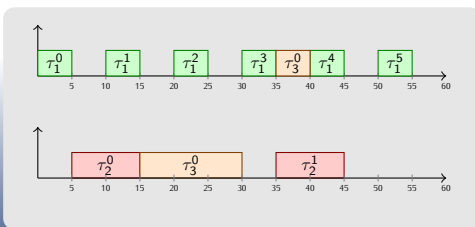
Séquence de configurations pour Sampling

τ_i	O_i	T_i	D_i	C_i	\mathcal{R}
τ_1	0	10	10	5	$\tau_1 \xrightarrow{(0,0)} \tau_2$
τ_2	0	30	30	10	$\tau_2 \xrightarrow{(0,0)} \tau_3$
τ_3	1	60	60	20	$\tau_1 \xrightarrow{(0,0)} \tau_3$

politique : FP, priorité $\tau_1 < \tau_2 < \tau_3$

architecture : 2 processeurs

time	0	1	5	10	30	61
τ_1	(0, 10, 10, 5)	(0, 9, 9, 4)	(0, 5, 5, 0)	(0, 0, 0, 0) → (0, 10, 10, 5)	(0, 0, 0, 0) → (0, 10, 10, 5)	(0, 9, 9, 4)
τ_2	(0, 30, 30, 10)	(0, 29, 29, 10)	(0, 25, 25, 10)	(0, 20, 20, 5)	(0, 0, 0, 0) → (0, 30, 30, 10)	(0, 29, 29, 10)
$M_{1,2}$	{(0, 0)}	{(0, 0)}	{}	{}	{(0, 0)}	{(0, 0)}
τ_3	(1, 60, 60, 20)	(0, 60, 60, 20)	(0, 56, 56, 20)	(0, 51, 51, 20)	(0, 21, 21, 5)	(0, 0, 0, 0) → (0, 60, 60, 20)
$M_{1,3}$	{(0, 0)}	{(0, 0)}	{}	{}	{}	{(0, 0)}
$M_{2,3}$	{(0, 0)}	{(0, 0)}	{(0, 0)}	{(0, 0)}	{}	{(0, 0)}



Analyse d'ordonnabilité pour des politiques existantes

Étant donné :

- une politique d'ordonnancement \mathcal{P} (FP, gEDF, gLLF ou LLREF)
- un ensemble de tâches dépendantes $\langle \mathcal{S}, \mathcal{R} \rangle$
- une plateforme \mathcal{A} composée de p processeurs.

Génère un **automate de recherche** (UPPAAL et C) :

- l'automate décrit l'évolution concurrente des configurations
- la politique d'ordonnancement donne la sémantique de la transition **updateTime**.



$A[] \text{ not ko} : \langle \mathcal{S}, \mathcal{R} \rangle$ est ordonnançable avec \mathcal{P} sur \mathcal{A} ssi l'état ko n'est pas accessible

Expérimentations avec SCHEDMCORE CONVERTER

Critères d'évaluation

- Taux d'ordonnançabilité : OK, KO, time-out et overflow
- Performances temporelles
- Types d'expérimentation : **nombre de tâches**, nombre de processeurs, contraintes de précédence et hyper-période

Expérimentations avec SCHEDMCORE CONVERTER

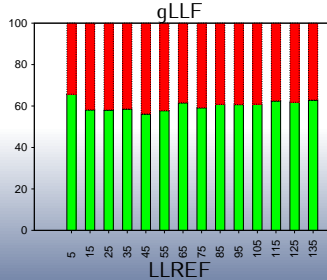
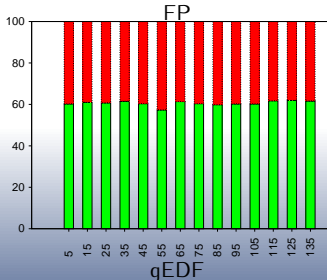
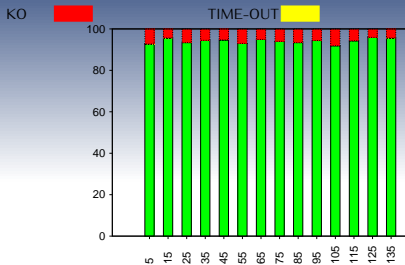
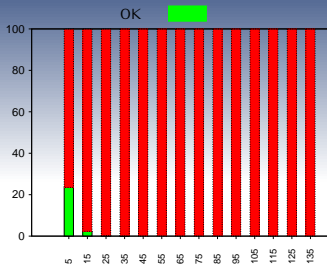
Critères d'évaluation

- Taux d'ordonnabilité : OK, KO, time-out et overflow
- Performances temporelles
- Types d'expérimentation : **nombre de tâches**, nombre de processeurs, contraintes de précédence et hyper-période

Robustesse par rapport au nombre de tâches

- Charge processeur 80%
- Hyper-période de 10000 (géométriques, 4 périodes différentes)
- Nombre de tâches variable entre 5 et 135 (1000 échantillons)
- Sans contraintes de précédence
- Architecture avec 2 cœurs

Taux d'ordonnabilité en C



Résultats pour gLLF très performants

Modèle UPPAAL vs. modèle C

Particularités UPPAAL

- overflow (LLREF \sim 30%-40% d'overflow)
- time-out (gLLF à partir de 100 tâches \sim 90%-100% de time-out)

Limites

- Modèle en C \rightarrow limite d'encodage de C
- Modèle en UPPAAL
 - gEDF 300 (overflow)
 - gLLF 100 (time-out)
 - LLREF 100 (overflow et time-out)

Expérimentations

- Modèles en C \rightarrow \sim 6 heures
- Modèles en UPPAAL \rightarrow \sim 4 semaines

Plan

1 Analyse d'ordonnabilité multiprocesseur

État de l'art

Contributions

2 Recherche des paramètres hors-ligne

État de l'art

Contributions

3 Environnement d'exécution

État de l'art

Contributions

4 Conclusion

Recherche d'un ordonnancement (optimal) hors-ligne

Principe

Obtention d'une séquence finie valide qui puisse être exécutée en boucle

Recherche d'un ordonnancement (optimal) hors-ligne

Principe

Obtention d'une séquence finie valide qui puisse être exécutée en boucle

Optimalité

Une recherche optimale peut trouver un ordonnancement valide s'il en existe un

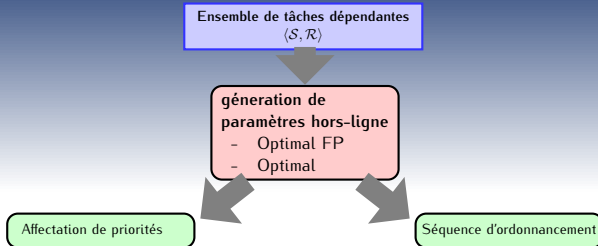
Trois solutions existent :

- Séparation et évaluation → non asynchrone
- Réseaux de Petri → explosion combinatoire
- Automates temporisés avec coût → jobs

Plan

- 1 Analyse d'ordonnabilité multiprocesseur
État de l'art
Contributions
- 2 Recherche des paramètres hors-ligne
État de l'art
Contributions
- 3 Environnement d'exécution
État de l'art
Contributions
- 4 Conclusion

Recherche de paramètres hors-ligne



Optimal FP

- deux méthodes : brute force et heuristique sous optimale
- génération de modèles C et UPPAAL pour l'exploration

Optimal

- encodage de la recherche d'une séquence sous forme d'un chemin dans un **automate** fini
- génération d'un modèle UPPAAL pour l'exploration.

Recherche d'une solution optimale hors-ligne

Étant donné :

- un ensemble de tâches dépendantes $\langle S, \mathcal{R} \rangle$
- une plateforme \mathcal{A} composée de p processeurs

Sortie :

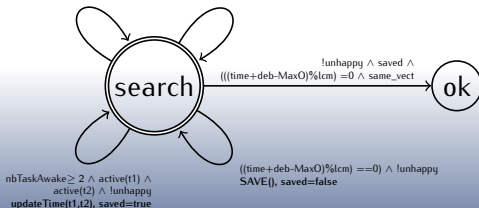
- Séquence d'exécution

Génère un **automate de recherche** (UPPAAL) :

- Produit un **automate de recherche** (exemple 2 processeurs)
- Recherche d'un cycle dans la séquence de configurations

$\text{nbTaskAwake} = 0 \wedge \text{!unhappy}$
 $\text{updateTime}(-1,-1), \text{saved} = \text{true}$

$\text{nbTaskAwake} = 1 \wedge \text{active}(t1) \wedge \text{!unhappy}$
 $\text{updateTime}(t1,-1), \text{saved} = \text{true}$

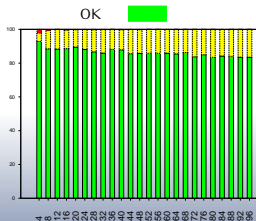


$E \leftrightarrow ok$: Une séquence valide existe ssi l'état ok est accessible

Performances pour la recherche hors-ligne optimale (optimal vs. gLLF)

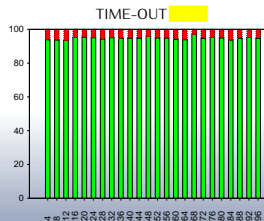
Robustesse par rapport au nombre de tâches

- Hyper-période = 1000 (géométrique, 4 périodes différentes)
- Charge du processeur 80%
- Nombre de tâches variable entre 4 et 96 (1000 échantillons)
- Sans contrainte de précedence
- 2 processeurs



Optimal

KO ■



gLLF en C

Résultats très similaires

Plan

1 Analyse d'ordonnabilité multiprocesseur

État de l'art

Contributions

2 Recherche des paramètres hors-ligne

État de l'art

Contributions

3 Environnement d'exécution

État de l'art

Contributions

4 Conclusion

Environnement d'exécution

Objectif d'exécuter $\langle S, \mathcal{R}, \mathcal{C} \rangle$

- Correction fonctionnelle et temporelle
- Surcoûts liés à l'architecture

Trois approches existantes :

- Simulation
- Système d'exploitation temps réel
- Solution **ordonnanceur utilisateur**

État de l'art

Simulateurs

Permet de simuler le comportement temporel et/ou fonctionnel du système

- Simulation temporelle
 - Simulateur de l'ordonnancement (Storm)
 - Simulateur de la trace d'exécution (MAST)
- Simulation temporelle et fonctionnelle monoprocesseur
 - Simulateur fonctionnel (Luciole, Scade Suite)
- Simulation temporelle et fonctionnelle multiprocesseur
 - Simulateur d'architecture (SystemC, SIMICS, Graphite)

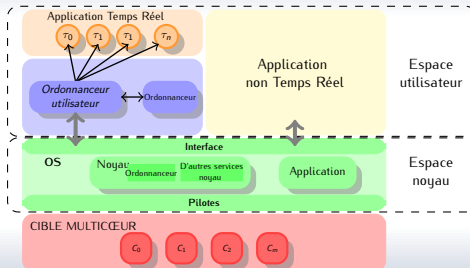
Systèmes d'exploitation

- + Bonnes performances car la gestion est faite en espace noyau
- Modification implique un changement dans le noyau
- Développement délicat
- À chaque modification il faut reconstruire tout le système (développement long)

État de l'art : Solution ordonnanceur utilisateur

Ordonnanceur utilisateur

Solution intermédiaire qui ajoute une couche supplémentaire en espace utilisateur pour fournir la gestion temporelle sur un système non nécessairement temps réel

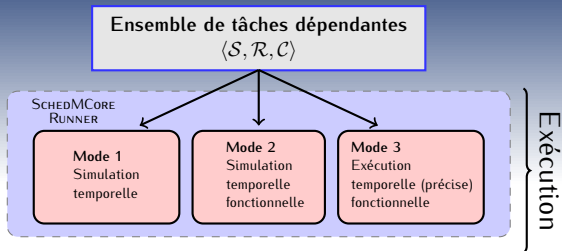


- + Portable, plus facile à maintenir et à actualiser
- Architecture monoprocesseur
- MarteOS, MetaScheduler

Plan

- 1 Analyse d'ordonnabilité multiprocesseur
État de l'art
Contributions
- 2 Recherche des paramètres hors-ligne
État de l'art
Contributions
- 3 **Environnement d'exécution**
État de l'art
Contributions
- 4 Conclusion

Plateforme d'exécution



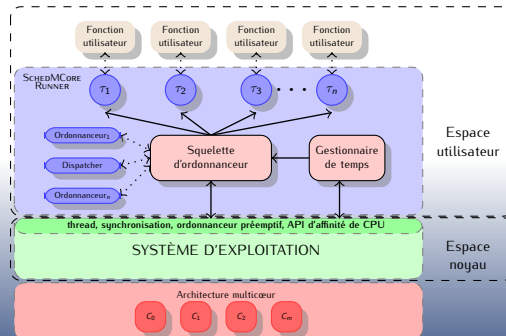
SCHEDMCORE RUNNER

Plateforme pour l'exécution des ensembles de tâches temps réel sur une architecture multicœur

- trois types d'exécution
 - simulation fonctionnelle
 - simulation de l'exécution
 - exécution en temps précis
- Portable et extensible

Architecture de SCHEDMCORE RUNNER

- **Gestionnaire de temps** est réveillé périodiquement pour débloquent le squelette d'ordonnanceur
- **Squelette d'ordonnanceur** contrôle la communication avec le système d'exploitation
- **Politique d'ordonnancement** implémente une politique d'ordonnancement (FP, gEDF, gLLF, LLREF et dispatcher).



Contexte

1 Analyse d'ordonnabilité multiprocesseur

État de l'art

Contributions

2 Recherche des paramètres hors-ligne

État de l'art

Contributions

3 Environnement d'exécution

État de l'art

Contributions

4 Conclusion

Conclusion

Plateforme de bout-en-bout ouverte et extensible pour le développement de systèmes temps réel multipériodiques

- SCHEDMCORE CONVERTER
 - Analyse d'ordonnement pour des politiques en-ligne (FP, gEDF, gLLF et LLREF)
 - Calcul d'une affectation de priorités valide en FP
 - Recherche (optimale) d'une séquence valide hors-ligne
- SCHEDMCORE RUNNER
 - Simulation temporelle
 - Simulation temporelle et fonctionnelle
 - Exécution temps précis

Exemple FAS

Analyse d'ordonnabilité

- 19 tâches asynchrones et 20 contraintes de précedence
- 2 processeurs
- Hyper-période de 10000 (géométriques, 4 périodes différentes)

politique	ordonnançable ?	temps de calcul C	temps de calcul UPPAAL
FP	Non ordonnançable	0.002s	0.085s
gEDF	Ordonnançable	0.013s	1.064s
gLLF	Ordonnançable	0.039s	2.332s
LLREF	Non ordonnançable	0.002s	0.240s
FP optimal	Non ordonnançable	3.034s	42.110s
optimal	Ordonnançable	-	3m10.142s

La trace obtenue pour la méthode optimale est exprimée sur 10503 unités de temps

Exécution

- Exécution sur Linux dans les 3 modes et avec toutes les politiques d'ordonnancement
- Tests sur 1 à 4 cœurs

Publications

SCHEDMCORE CONVERTER

Multiprocesseur schedulability analyser

Mikel Cordovilla, Frédéric Boniol, Eric Noulard, Claire Pagetti
26th Symposium On Applied Computing (SAC2011)

PRELUDE + SCHEDMCORE CONVERTER + SCHEDMCORE RUNNER

Developing critical embedded systems on multicore architectures : the Prelude-Schedmcore

Mikel Cordovilla, Frédéric Boniol, Julien Forget, Eric Noulard, Claire Pagetti
19th International Conference on Real-Time and Network Systems (RTNS2011)

Recherche optimale hors-ligne

Off-line (Optimal) Multiprocessor Scheduling of Dependent Periodic Tasks

Julie Baro, Frédéric Boniol, Mikel Cordovilla, Eric Noulard, Claire Pagetti
27th Symposium On Applied Computing (SAC2012)

Perspectives

Réflexion sur les politiques d'ordonnement :

- Analyse détaillée des politiques d'ordonnement
- Optimiser LLREF pour améliorer ses performances en présence de contraintes de précédence

SCHEDMCORE CONVERTER :

- Traduction des modèles des recherche de paramètres hors-ligne à d'autres méthodes de recherche (Fiacre/Tina)
- Sélection de traces d'exécution hors-ligne

SCHEDMCORE RUNNER :

- Extension à des manycœurs

Maintenance du code :

- Tests de référence et non régression

Questions

Merci pour votre attention !

SCHEDMCORE : <http://sites.onera.fr/schedmcore>